

Mn2—F1	2.294 (2)	Na3—O6 <sup>v</sup>	2.525 (4)
Na1—F1 <sup>viii</sup>	2.262 (3)	Na4—O5 <sup>xii</sup>	2.343 (3)
Na1—O4	2.383 (3)	Na4—F1 <sup>vii</sup>	2.346 (3)
Na1—O8 <sup>viii</sup>	2.407 (3)	Na4—O1	2.360 (3)
Na1—O5 <sup>v</sup>	2.412 (3)	Na4—O7 <sup>x</sup>	2.400 (3)
Na1—O1 <sup>vi</sup>	2.420 (3)	Na4—F1 <sup>x</sup>	2.407 (3)
Na1—F1 <sup>ix</sup>	2.457 (3)	Na4—O8	2.500 (4)

Symmetry codes: (i)  $-x, -y, 1-z$ ; (ii)  $-x, 1-y, 1-z$ ; (iii)  $\frac{1}{2}-x, y-\frac{1}{2}, \frac{1}{2}-z$ ; (iv)  $\frac{1}{2}-x, \frac{1}{2}+y, \frac{1}{2}-z$ ; (v)  $x, y-1, z$ ; (vi)  $1-x, 1-y, 1-z$ ; (vii)  $\frac{1}{2}-x, \frac{1}{2}+y, \frac{1}{2}-z$ ; (viii)  $\frac{1}{2}+x, \frac{1}{2}-y, \frac{1}{2}+z$ ; (ix)  $1-x, -y, 1-z$ ; (x)  $x, 1+y, z$ ; (xi)  $x-\frac{1}{2}, \frac{3}{2}-y, z-\frac{1}{2}$ .

The formula of the new compound was established by the structural investigation. The absence of OH groups was confirmed by IR spectral analysis. The minimum residual electron density peak of  $-1.102 \text{ e } \text{\AA}^{-3}$  is located 0.79 Å from P1.

Data collection: Syntex *P1* software. Cell refinement: Syntex *P1* software. Data reduction: Syntex *P1* software. Program(s) used to solve structure: *DIRDIF* (Beurskens *et al.*, 1994). Program(s) used to refine structure: *SHELXL93* (Sheldrick, 1993). Molecular graphics: *STRUPLO84* (Fischer, 1985), *TROMPLEU* (Le Lirzin, Gravereau & Larroche, 1991). Software used to prepare material for publication: *SHELXL93*.

We would like to acknowledge the financial support of the Russian Committee of High Education (grant 221). We thank Dr A. Yacenko from the Chemistry Department of Moscow State University for assisting with some calculations and the preparation of the manuscript for publication.

Lists of atomic coordinates, displacement parameters, structure factors and complete geometry, and a displacement ellipsoid drawing plotted at the 60% probability level have been deposited with the IUCr (Reference: AB1400). Copies may be obtained through The Managing Editor, International Union of Crystallography, 5 Abbey Square, Chester CH1 2HU, England.

## References

- Beurskens, P. T., Admiraal, G., Beurskens, G., Bosman, W. P., de Gelder, R., Israël, R. & Smits, J. M. M. (1994). *The DIRDIF94 Program System*. University of Nijmegen, The Netherlands.
- Fischer, R. X. (1985). *J. Appl. Cryst.* **18**, 258–262.
- Lahti, S. J. & Pajunen, A. (1985). *Am. Mineral.* **70**, 849–855.
- Le Lirzin, A., Gravereau, R. & Larroche, A. (1991). *TROMPLEU. Program for Generating Polyhedral Drawings of Crystal Structures*. University of Bordeaux, France.
- Nocirev, N. A., Treushnikov, E. N., Iluhin, V. V. & Belov, N. V. (1974). *Dokl. Akad. Nauk SSSR*, **216**, 82–85.
- North, A. C. T., Phillips, D. C. & Mathews, F. S. (1968). *Acta Cryst.* **A24**, 351–359.
- Sandomirskij, P. A. & Belov, N. V. (1984). In *Crystal Chemistry of Mixed Anionic Radicals*. Moscow: Nauka.
- Sheldrick, G. M. (1993). *SHELXL93. Program for the Refinement of Crystal Structures*. University of Göttingen, Germany.
- Tordjman, J., Masse, R. & Guitel, J. G. (1974). *Z. Kristallogr.* **139**, 103–115.
- Treushnikov, E. N., Iluhin, V. V. & Belov, N. V. (1970). *Dokl. Akad. Nauk SSSR*, **190**, 334–337.
- Yakubovich, O. V., Mel'nikov, O. K. & Urusov, V. S. (1995). *Dokl. Akad. Nauk Russ.* **342**, 615–620.
- Yakubovich, O. V. & Urusov, V. S. (1996). *Vestnik MGU Ser. 4*, **2**, 28–54.

*Acta Cryst.* (1997). **C53**, 397–399

## Na<sub>4</sub>Ce(As<sub>2</sub>O<sub>7</sub>)<sub>2</sub>

WAHID BELAM, HABIB BOUGHZALA ET TAHR JOUNI

Département de Chimie, Faculté des Sciences, Campus Universitaire, 1060 Tunis, Tunisia

(Reçu le 16 avril 1996, accepté le 2 décembre 1996)

## Abstract

Tetrasodium cerium(IV) bis[diarsenate(4-)] is built from CeO<sub>8</sub> antiprisms and As<sub>2</sub>O<sub>7</sub> diarsenate groups connected by Ce—O—As mixed bridges to form a three-dimensional framework. The As<sub>2</sub>O<sub>7</sub> diarsenate groups have a nearly eclipsed conformation. The framework delimits interconnecting tunnels running along the [001] and [110] directions where the Na<sup>+</sup> cations are located.

## Commentaire

Les composés de formulation  $A^1M^{III}X_2O_7$  ( $X = \text{As, P}$ ) (Boughzala, Driss & Jouini, 1993), ont fait l'objet de nombreux travaux en raison de leurs propriétés potentielles (conduction ionique ou protonique, échange d'ions, catalytique). En revanche nous n'avons relevé dans la bibliographie aucun composé faisant intervenir le degré d'oxydation IV, qui aurait pour formulation  $A^1M^{IV}(X_2O_7)_2$ . C'est pour cette raison que nous avons entrepris l'investigation du système  $\text{Na}_2\text{O}\text{—CeO}_2\text{—X}_2\text{O}_5$ , ( $X = \text{As, P}$ ) dans lequel nous venons de mettre en évidence le composé  $\text{Na}_4\text{Ce}(\text{As}_2\text{O}_7)_2$ .

Les ellipsoïdes d'agitation thermique et la désignation des atomes sont représentées à la Fig. 1.

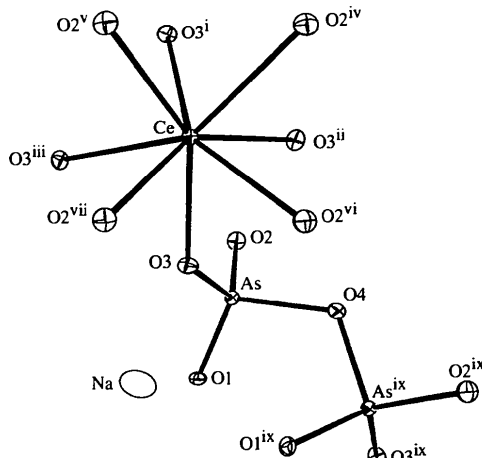


Fig. 1. Représentation ORTEPII (Johnson, 1976) de la connexion d'un antiprisme CeO<sub>8</sub> et d'un groupement diarséniate. Les ellipsoïdes d'agitation thermique correspondent à 50% de probabilité, les codes de symétrie sont définis au Tableau 2.

Cette structure (Fig. 2), renferme des antiprismes CeO<sub>8</sub>, partageant leurs huit sommets oxygène avec huit groupements diarséniate As<sub>2</sub>O<sub>7</sub>. Ces derniers sont connectés chacun à quatre antiprismes CeO<sub>8</sub> par la mise en commun de quatre sommets oxygène. Il en résulte une charpente tridimensionnelle délimitant des canaux parallèles aux directions [001], [110] et son équivalence [110], où logent les cations Na<sup>+</sup>. Les deux atomes d'oxygène libres de chaque groupement diarséniate pointent vers l'intérieur de ces canaux, établissant ainsi des liaisons avec les cations Na<sup>+</sup>. Ces derniers adoptent un environnement octaèdrique légèrement déformé.

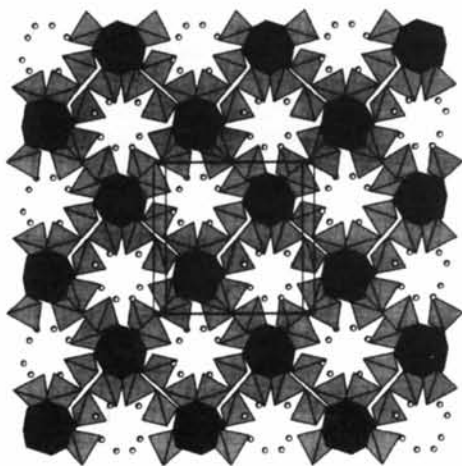


Fig. 2. Vue perspective de la structure de Na<sub>4</sub>Ce(As<sub>2</sub>O<sub>7</sub>)<sub>2</sub> selon [001].

La conformation des groupements diarséniate, est quasi-éclipsée, en effet la valeur de l'angle de torsion O1<sup>x</sup>—As—As<sup>x</sup>—O3 [code de symétrie: (x)  $\frac{1}{2} + y, \frac{1}{2} + x, \frac{1}{2} - z$ ] est de 20,6 (3) $^\circ$ , elle est supérieure à celles (13,5 et 10,7 $^\circ$ ) trouvées dans une étude effectuée récemment sur le composé Na<sub>3,12</sub>Fe<sub>2,44</sub>(P<sub>2</sub>O<sub>7</sub>)<sub>2</sub> (Angenault, Courtier & Quarton, 1995).

La coordination antiprismatique du cérium(IV) dans cette structure rappelle, par exemple, celle adoptée par les éléments de terre rare dans les structures des composés de formulation Ln<sub>6</sub>F<sub>36</sub> ou Ln<sub>6</sub>F<sub>37</sub> (Ln = terre rare) (Le Fur & Aleonard, 1991).

## Partie expérimentale

Ce composé a été obtenu sous forme de monocristaux à partir des réactifs NaOH, CeO<sub>2</sub> et H<sub>3</sub>AsO<sub>4</sub> pris dans les rapports molaires (Na:Ce:As = 1:0,1:1). Le mélange obtenu est chauffé pendant trois heures à 1123 K puis refroidi lentement (60 K h<sup>-1</sup>) jusqu'à 958 K. Une trempe à la température ambiante suivie de lavages successifs à l'eau bouillante libère des cristaux.

### Données cristallines

Na<sub>4</sub>Ce(As<sub>2</sub>O<sub>7</sub>)<sub>2</sub>  
 $M_r = 755,76$

Mo K $\alpha$  radiation  
 $\lambda = 0,71069 \text{ \AA}$

### Tétragone

P4/ncc  
 $a = 10,825 (3) \text{ \AA}$   
 $c = 10,184 (6) \text{ \AA}$   
 $V = 1193,4 (8) \text{ \AA}^3$   
 $Z = 4$   
 $D_x = 4,206 \text{ Mg m}^{-3}$

Paramètres de la maille à l'aide de 25 réflexions  
 $\theta = 3-22^\circ$   
 $\mu = 15,087 \text{ mm}^{-1}$   
T = 293 (2) K  
Parallélopipedique  
 $0,10 \times 0,05 \times 0,05 \text{ mm}$   
Incolore

### Collection des données

Diffractomètre CAD-4  
Balayage  $\omega$   
Correction d'absorption:  
empirique par  $\psi$  scans  
(North, Phillips &  
Mathews, 1968)  
 $T_{\min} = 0,46, T_{\max} = 0,47$   
729 réflexions mesurées  
510 réflexions indépendantes  
413 réflexions avec  
 $I > 2\sigma(I)$

$R_{\text{int}} = 0,0213$   
 $\theta_{\max} = 25^\circ$   
 $h = 0 \rightarrow 12$   
 $k = -12 \rightarrow 0$   
 $l = -12 \rightarrow 0$   
2 réflexions de référence  
toutes les 400  
réflexions  
fréquence: 120 min  
variation d'intensité:  
0,85%

### Affinement

Affinement à partir des  $F^2$   
 $R[F^2 > 2\sigma(F^2)] = 0,026$   
 $wR(F^2) = 0,058$   
 $S = 1,277$   
510 réflexions  
55 paramètres  
 $w = 1/[\sigma^2(F_o^2) + (0,0111P)^2$   
+ 6,5710P]  
où  $P = (F_o^2 + 2F_c^2)/3$   
 $(\Delta/\sigma)_{\max} = -0,056$

$\Delta\rho_{\max} = 0,688 \text{ e \AA}^{-3}$   
 $\Delta\rho_{\min} = -0,897 \text{ e \AA}^{-3}$   
Correction d'extinction:  
SHELXL93 (Sheldrick,  
1993)  
Coefficient d'extinction:  
0,0009 (2)  
Facteurs de diffusion des  
International Tables for  
Crystallography (Vol. C)

Tableau 1. Coordonnées atomiques et facteurs d'agitation thermique isotrope équivalents ( $\text{\AA}^2$ )

$$U_{\text{eq}} = (1/3)\sum_i \sum_j U^{ij} a_i^* a_j^* \mathbf{a}_i \cdot \mathbf{a}_j$$

	$x$	$y$	$z$	$U_{\text{eq}}$
As	0,02354 (6)	0,35080 (6)	0,32231 (7)	0,0058 (2)
Ce	1/4	1/4	0,06918 (8)	0,0054 (3)
Na	-0,1016 (3)	0,1746 (3)	0,1050 (3)	0,0232 (8)
O1	-0,1105 (4)	0,3026 (4)	0,3799 (5)	0,0109 (11)
O2	0,1241 (4)	0,3825 (4)	0,4424 (4)	0,0103 (10)
O3	0,0721 (4)	0,2624 (4)	0,1983 (4)	0,0081 (10)
O4	-0,0010 (5)	1/2 + $x$	1/4	0,0096 (13)

Tableau 2. Paramètres géométriques ( $\text{\AA}$ ,  $^\circ$ )

As—O1	1,650 (5)	Ce—O2 <sup>v</sup>	2,362 (4)
As—O3	1,670 (4)	Ce—O2 <sup>vii</sup>	2,362 (4)
As—O2	1,673 (5)	Ce—O2 <sup>viii</sup>	2,289 (6)
As—O4	1,785 (4)	Na—O1 <sup>vii</sup>	2,308 (5)
Ce—O3 <sup>i</sup>	2,336 (4)	Na—O1 <sup>vii</sup>	2,311 (5)
Ce—O3 <sup>ii</sup>	2,336 (4)	Na—O3	2,551 (6)
Ce—O3 <sup>iii</sup>	2,336 (4)	Na—O1 <sup>ix</sup>	2,651 (7)
Ce—O2 <sup>iv</sup>	2,362 (4)	Na—O4 <sup>iii</sup>	3,015 (6)
O1—As—O3	111,4 (2)	O3—As—O4	104,5 (2)
O1—As—O2	112,2 (3)	O2—As—O4	102,4 (2)
O3—As—O2	117,8 (2)	As—O4—As <sup>ix</sup>	116,0 (4)
O1—As—O4	107,4 (2)		

Codes de symétrie: (i)  $\frac{1}{2} - x, \frac{1}{2} - y, z$ ; (ii)  $y, \frac{1}{2} - x, z$ ; (iii)  $\frac{1}{2} - y, x, z$ ; (iv)  $\frac{1}{2} - x, y, z - \frac{1}{2}$ ; (v)  $y, x, z - \frac{1}{2}$ ; (vi)  $\frac{1}{2} - y, \frac{1}{2} - x, z - \frac{1}{2}$ ; (vii)  $x, \frac{1}{2} - y, z - \frac{1}{2}$ ; (viii)  $-y, -x, \frac{1}{2} - z$ ; (ix)  $y - \frac{1}{2}, \frac{1}{2} + x, \frac{1}{2} - z$ .

Collection des données: *CAD-4-Express* (Duisenberg, 1992; Macíček & Yordanov, 1992). Affinement des paramètres de la maille: *CAD-4-Express*. Réduction des données: *MolEN* (Fair, 1990). Programme(s) pour la solution de la structure: *SHELXS86* (Sheldrick, 1990). Programme(s) pour l'affinement de la structure: *SHELXL93* (Sheldrick, 1993). Logiciel utilisé pour préparer le matériel pour publication: *SHELXL93*.

Les listes des facteurs d'agitation thermique et des facteurs de structure ont été déposées au dépôt d'archives de l'UICr (Référence: DU1161). On peut en obtenir des copies en s'adressant à: The Managing Editor, International Union of Crystallography, 5 Abbey Square, Chester CH1 2HU, Angleterre.

## Références

- Angenault, J., Couturier, J.-C. & Quarton, M. (1995). *Eur. J. Solid State Inorg. Chem.* **32**, 335–343.  
 Boughzala, H., Driss, A. & Jouini, T. (1993). *Acta Cryst.* **C49**, 425–427.  
 Duisenberg, A. J. M. (1992). *J. Appl. Cryst.* **25**, 92–96.  
 Fair, C. K. (1990). *MOLEN. An Interactive Intelligent System for Crystal Structure Analysis*. Enraf–Nonius, Delft, Les Pays-Bas.  
 Johnson, C. K. (1976). *ORTEPII*. Rapport ORNL-5138. Oak Ridge National Laboratory, Tennessee, EU.  
 Le Fur, Y. & Aleonard, S. (1991). *J. Solid State Chem.* **95**, 403–411.  
 Macíček, J. & Yordanov, A. (1992). *J. Appl. Cryst.* **25**, 73–80.  
 North, A. C. T., Phillips, D. C. & Mathews, F. S. (1968). *Acta Cryst.* **A24**, 351–359.  
 Sheldrick, G. M. (1990). *Acta Cryst.* **A46**, 467–473.  
 Sheldrick, G. M. (1993). *SHELXL93. Program for the Refinement of Crystal Structures*. Université de Göttingen, Allemagne.

*Acta Cryst.* (1997). **C53**, 399–401

## Strontium Metagermanate, $\text{SrGeO}_3$

FUMITO NISHI

*Saitama Institute of Technology, Fusajii 1690, Okabe, Ohsato-gun, Saitama, 369-02, Japan. E-mail: nishi@sit.ac.jp*

(Received 16 July 1996; accepted 8 November 1996)

### Abstract

This form of strontium germanium trioxide has the same structure as that reported by Hilmer [*Sov. Phys. Crystallogr.* (1963), **7**(5), 573–576] except that it has monoclinic rather than hexagonal symmetry. Two forms of  $\text{SrGeO}_3$  are known at present: this monoclinic form and a triclinic form reported by Nadezhina, Pobedimskaya, Ilyukhin & Belov [*Sov. Phys. Crystallogr.* (1981), **26**(1), 27–32; **26**(3), 268–271]. The present structure has alternate stacking of ternary rings of  $\text{GeO}_4$  groups and

close-packed Sr atoms along [001], and is a six-layer polytype.

### Comment

$\text{SrGeO}_3$  has been studied previously by one person and one group. Hilmer (1963) studied the crystal structure of  $\text{SrGeO}_3$  using a Weissenberg camera. He obtained hexagonal lattice parameters ( $a = 7.29$ ,  $c = 31.64 \text{ \AA}$ ) and showed that the structure contained ternary rings of  $\text{GeO}_4$  groups. In addition, he concluded that the structure was composed of alternating layers of  $[\text{Ge}_3\text{O}_9]^{6-}$  rings and layers of Sr atoms. Nadezhina, Pobedimskaya, Ilyukhin & Belov (1981a,b) also studied  $\text{SrGeO}_3$  but obtained triclinic lattice parameters ( $a = 8.699$ ,  $b = 9.935$ ,  $c = 11.148 \text{ \AA}$ ,  $\alpha = 106.04$ ,  $\beta = 89.97$ ,  $\gamma = 102.11^\circ$ ). This structure also contained rings of  $\text{GeO}_4$  groups, but the configurations of the rings were quite different from those in the structure described by Hilmer (1963). Nadezhina *et al.* (1981a,b) stated that the different types of ternary rings in the two modifications of strontium metagermanate were undoubtedly the result of a difference in the structures of the cation layers. In addition, they called the form they had studied the low-temperature form ( $\alpha'$ - $\text{SrGeO}_3$ ) and the form Hilmer had studied the high-temperature form ( $\alpha$ - $\text{SrGeO}_3$ ). Yamanaka & Mori (1981) solved the structure of  $\alpha$ - $\text{CaSiO}_3$  (pseudowollastonite) and found the structure to be characterized by four layers, each of which was composed of ternary rings of  $\text{SiO}_4$  groups and a Ca polyhedron layer. They compared the structure of  $\alpha$ - $\text{CaSiO}_3$  with the structure of  $\text{SrGeO}_3$  determined by Hilmer and predicted that the latter contained six layers.

The symmetry and the lattice parameters of  $\text{SrGeO}_3$  found in the present work are different not only from those given by Hilmer (1963) but also from those given by Nadezhina *et al.* (1981a,b). However, this structure is the same that described by Hilmer for two reasons. Firstly, the crystal studied here has a pseudo-hexagonal cell which corresponds to the cell given by Hilmer. Secondly, all of the reflections observed by Hilmer can be indexed on the basis of the present monoclinic cell and their intensities are very similar. The structure described by Nadezhina *et al.* is different, so two forms of  $\text{SrGeO}_3$  exist.

Fig. 1 shows the arrangement of the ternary rings and the Sr atoms in the present structure. It is notable that the Sr atoms form a close-packed layer. Fig. 2 shows the layers of ternary rings of  $\text{GeO}_4$  groups and the layers of Sr atoms stacked alternately along [001]. The unique edges of the  $\text{GeO}_4$  tetrahedra are almost parallel to the stacking direction. Yamanaka & Mori (1981) defined a layer as one layer of the ternary rings plus one layer of Sr atoms. In the present structure the seventh layer is located just above the first layer along the stacking direction, suggesting that this is a six-layer structure. The mean values of the Sr(1)—O and